



О лучевой теории волновых аттракторов в стратифицированной жидкости¹

Петров А.Г.

Институт проблем механики им. А.Ю. Ишлинского РАН, Москва

Введение

Несжимаемая жидкость находится в устойчивом статическом равновесии с плотностью, линейно растущей в направлении силы тяжести. Регулярные возмущения этого статического равновесия с некоторой частотой ω приводят к внутренним гравитационным волнам, энергия которых распространяется по прямым линиям — лучам, образующим фиксированный угол с вертикалью $\theta = \arccos(\omega/N)$, где N — частота Брента-Вяйсяля. При отражении от стенки направление луча меняется так, что его угол с вертикалью θ меняет знак, а абсолютная величина угла θ сохраняется. Таким образом, для простейшего исследования внутренних волн можно использовать лучевую модель. Существуют лабораторные и численные эксперименты, в которых волновой луч отражается от стенок бассейна, имеющего форму трапеции [1, 2]. В таком бассейне луч, последовательно отражаясь от стенок, принимает предельную устойчивую форму параллелограмма — волновой аттрактор [1–5]. Данное исследование посвящено аналитическому выводу координат вершин аттрактора при задан-

ных сторонах трапеции и угла θ , условиям сходимости, а также вывода необходимых и достаточных условий, которым должны удовлетворять длины сторон трапеции, в которой образуются волновые аттракторы с одним отражением от каждой стороны.

Постановка задачи и ее решение

Рассмотрим бассейн в форме трапеции $ABCD$. Сторона AD направлена по вертикали, стороны AB и DC по горизонтали, их длины $AD = a$, $AB = b_1$, $DC = b$, $b_1 < b$. В декартовых осях X, Y вершины трапеции задаются координатами $A(0, a)$, $B(b_1, a)$, $C(b_2, 0)$, $D(0, 0)$ (Рис. 1, а).

Исследование аттракторов удобно провести на (d, τ) плоскости, введенной в [1] (см. Рис. 1, б). Равенство углов луча относительно вертикали сохраняется при растяжении плоскости относительно горизонтальной оси или относительно вертикальной оси. Поэтому преобразование $\bar{x} = 2x/b_2 - 1$, $\bar{y} = y\tau/a$, переводящее вершины трапеции $A(0, a)$, $B(b_1, a)$, $C(b_2, 0)$, $D(0, 0)$ на плоскости x, y в вершины трапеции $\bar{A}(-1, \tau)$, $\bar{B}(1, \tau)$, $\bar{C}(d, 0)$, $\bar{D}(-1, 0)$ на плоскости \bar{x}, \bar{y} . Координаты вершин аттрактора $M_0(x, a)$, $M_1(0, y)$, $M_2(z, 0)$, $M_3(b, u)$ в исходной трапеции $ABCD$ преобразуются в вершины $M_0(\bar{x}, \tau)$, $M_1(-1, \bar{y})$, $M_2(\bar{z}, 0)$, $M_3(\bar{b}, \bar{u})$ на преобразованной трапеции $\bar{A}, \bar{B}, \bar{C}, \bar{D}$. Формулам координат аттрак-

¹Работа выполнена в рамках госзадания (AAAA-A20-120011690138-6).

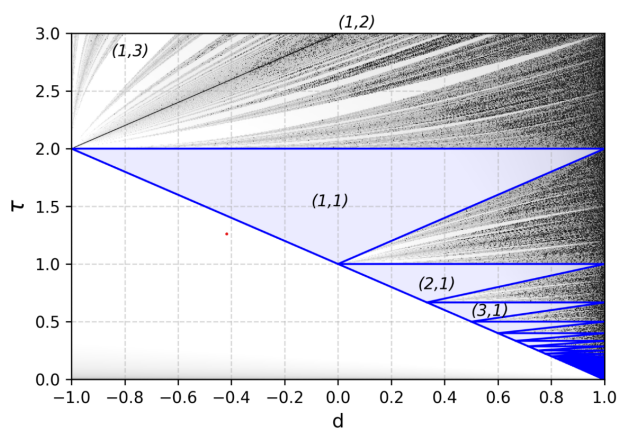


Рис. 2. Области существования волновых аттракторов, полученные методом трассировки лучей

Список литературы

- [1] *Maas L.R.M., Lam F.P.A.* Geometric focusing of internal waves // *J. Fl. M.* 1995, V. 300, p. 1–41.
- [2] *Maas L.R.M., Benielli D., Sommeria J., Lam F.P.A.* Observation of an internal wave attractor in a confined, stably stratified fluid // *Nature* 1997, V. 388, p. 557–561.
- [3] *Brouzet C., Sibgatullin, I., Scolan H., Ermanyuk E., Dauxois T.* Internal wave attractors examined using laboratory experiments and 3D numerical simulations // *J.Fl.M.* 2016, V. 3, p. 109–131.
- [4] *Brouzet C., Ermanyuk E., Joubaud S., Sibgatullin I., Dauxois T.* Energy cascade in internal-wave attractors // *EPL Europhys. Lett.* 2016, V. 113.
- [5] *Boury S., Sibgatullin I., Ermanyuk E., Shmakova, N., Odier P., Joubaud S., Maas L.R., Dauxois T.* Vortex cluster arising from an axisymmetric inertial wave attractor // *J. Fluid Mech.* 2021, V. 926, p. A12.
- [6] *Петров А.Г.* Координаты волнового аттрактора в трапециевидном водном бассейне со стратификацией // *Доклады РАН. Физика Технические науки.* 2022. Т. 503. С. 18–23.
- [7] *Sibgatullin I., Petrov A.G., Xu X., Maas L.* On Wave Attractors: Coordinates and Saturation Time // *Symmetry* 2022, V. 14, p. 319. <https://doi.org/10.3390/sym14020319>